

05

## Кинематическое приближение для коэффициента обратного рассеяния рентгеновской волны сильноизогнутым кристаллом

© Т. Чен

Московская государственная академия тонкой химической технологии  
им. М.В. Ломоносова  
E-mail: docent65@mtu-net.ru, ttchen@e-mail.ru

Поступило в Редакцию 15 апреля 2002 г.

В окончательной редакции 6 июня 2002 г.

Получено аналитическое выражение для коэффициента брэгговского отражения назад ( $\theta_B \cong \pi/2$ ) рентгеновской волны сильноизогнутым тонким кристаллом. Показано, что амплитудные коэффициенты обратного отражения сильноизогнутым кристаллом и плоским кристаллом той же толщины различаются небольшим фазовым множителем.

Дифракционное отражение рентгеновских лучей плоскими и изогнутыми кристаллами в обратном направлении ( $\theta_B \cong \pi/2$ ) исследовалось экспериментально в ряде работ [1–8].

Обратное рассеяние рентгеновского излучения выгодным образом отличается от дифракции при брэгговских углах  $\theta_B < \pi/2$  наличием ряда важных свойств. Во-первых, светосила кристаллической оптики при обратном рассеянии пучка на 2–3 порядка выше, чем при  $\theta_B < \pi/2$ . Действительно, учитывая явный вид угловой переменной  $y$  (см., например, [9]):

$$y = [2\Delta\theta(\gamma_0/|\gamma_h|) \sin 2\theta_B + (1 + \gamma_0/|\gamma_h|)\chi_0] / 2C(\chi_h\chi_{-h}\gamma_0/|\gamma_h|)^{1/2} \quad (1)$$

и то, что при обратном отражении  $\sin 2\theta_B \cong 2\Delta\theta \ll 1$ , легко получаем из (1) угловую ширину кривой обратного отражения:

$$\Delta\theta_{\theta \cong \pi/2} \cong (\chi_h\chi_{-h})^{1/4}(2C)^{1/2}/(\gamma_0/|\gamma_h|)^{1/4}, \quad |C| = 1, \quad \gamma_0 = |\gamma_h|. \quad (2)$$

В формуле (1) введены следующие стандартные обозначения:  $\Delta\theta = \theta - \theta_B$  — отклонение от точного брэгговского угла,  $\gamma_{0,h}$  — направ-

ляющие косинусы для падающей и дифрагированной волн,  $\chi_{0,h,-h}$  — фурье-компоненты рентгеновской поляризуемости,  $C$  — поляризационный фактор.

Из формулы (2) видно, что для обратного рассеяния ширина кривой полного отражения в  $(\chi_h \chi_{-h})^{-1/4}$  раз больше, чем при  $\theta_B < \pi/2$ .

Вторая особенность обратного рассеяния — высокая чувствительность к степени монохроматичности  $\Delta\lambda/\lambda$  излучения. Действительно, из закона Брэгга-Вульфа следует, что  $\Delta\lambda/\lambda = \text{ctg } \theta_B \Delta\theta \leq (\Delta\theta)^2$ . Для узкоколлимированного пучка с  $\Delta\theta \sim 10^{-5} \div 10^{-6}$  степень монохроматичности  $\Delta\lambda/\lambda \sim 10^{-10} \div 10^{-12}$ .

Третье свойство — высокая чувствительность к изменению  $\Delta d$  межплоскостного расстояния  $d$ :  $\Delta d/d \leq (\Delta\theta)^2$ . В-четвертых, геометрические аберрации минимизированы при обратном отражении.

Однако до сих пор брэгговское отражение назад исследовалось в основном для толстых кристаллов с толщиной  $l > \Lambda$ . Здесь  $\Lambda = \lambda/|\chi_{hr}|$  — экстинкционная длина для обратного рассеяния,  $\lambda$  — длина волны падающего излучения.

В настоящей работе получено выражение для амплитудного коэффициента отражения плоской волны тонким кристаллом  $l \ll \Lambda$  (кинематическая дифракция) в области угловых переменных  $y$ , где можно пренебречь осцилляционным характером кривой коэффициента отражения. Исходя из известного в теории аналитического выражения для коэффициента отражения сильноизогнутым кристаллом конечной толщины, получено выражение для коэффициента обратного рассеяния этим кристаллом.

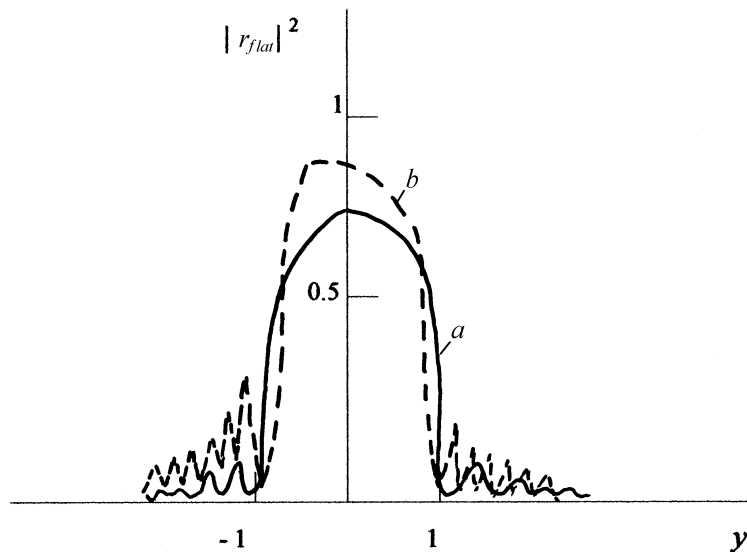
Рассмотрим сначала плоский кристалл толщиной  $l$ . Из результатов работы [10] следует, что амплитудный коэффициент отражения  $r_{flat}$  такого кристалла:

$$r_{flat} = [1 - \exp\{i(\varepsilon_1 - \varepsilon_2)l\}] / [R_2 - R_1 \exp\{i(\varepsilon_1 - \varepsilon_2)l\}]. \quad (3)$$

Здесь

$$\begin{aligned} \varepsilon_{1,2} &= \pi [\chi_0 + C(\chi_h \chi_{-h} \gamma_0 / |\gamma_h|)^{1/2} (-y \pm \{y^2 - 1\}^{1/2})] / \lambda \gamma_0, \\ R_{1,2} &= (-y \pm \{y^2 - 1\}^{1/2}) (\chi_h / \chi_{-h})^{1/2}. \end{aligned} \quad (4)$$

Формулы (3), (4) применимы и для обратного рассеяния.



Зависимость коэффициента отражения  $|r_{flat}|^2$  от угловой переменной  $y$ . Отражение (220),  $\text{CuK}_\alpha$ -излучение, кристалл Si,  $\Lambda = 6.28 \mu\text{m}$ . Кривая дифракционного отражения плоского кристалла толщиной  $l$ :  $l = 12.56 \mu\text{m}$ ,  $b - l = 31.4 \mu\text{m}$ .

Из (3) видно, что при  $|y| > 1$  кривая дифракционного отражения  $|r_{flat}|^2$  осциллирует (см. рисунок). Период осцилляций  $\Delta y$  можно оценить, положив:

$$2\pi|\chi_{hr}|(y^2 - 1)l/\lambda \approx 2\pi n, \quad n \text{ — целое число.} \quad (5)$$

Из (5) следует, что  $\Delta y = \{\Lambda^2(n+1)^2/l^2 + 1\} - \{\Lambda^2 n^2/l^2 + 1\}$ . Для очень тонких кристаллов  $l \ll \Lambda$  получаем  $\Delta y \approx \Lambda/l$ . В противоположном случае  $l \gg \Lambda$  имеем  $\Delta y \approx \Lambda^2(2n+1)/(2l^2)$ .

Пренебрежем осцилляционной структурой кривой  $|r_{flat}|^2$ , рассмотрим часть кривой, ограниченную значениями  $|y| \ll \{\Lambda^2/(4\pi^2 l^2) + 1\}^{1/2}$ . При увеличении толщины  $l$  сужается интервал  $|y|$ , удовлетворяющих этому неравенству.

Тогда из (3) получим:

$$r_{flat} \cong i\pi|\chi_{hr}|l/\lambda. \quad (6)$$

При выводе формулы (6) мы положили для определенности, что кристалл — центросимметричный ( $\chi_h = \chi_{-h}$ ), а также учли, что  $(\varepsilon_1 - \varepsilon_2)l \ll 1$ .

Рассмотрим теперь изогнутый кристалл конечной толщины  $l$ . Амплитудный коэффициент отражения равен [11]:

$$r_{bent} = -(i)^{3/2} (q/4d) (\pi/2B)^{1/2} \operatorname{tg} \theta_B [\Phi(-t_1/2^{1/2}) - \Phi(-t_0/2^{1/2})] \times \exp(-t_0^2/2),$$

где  $q = \pi C d \chi_h / (\lambda \sin \theta_B)$  — коэффициент отражения от атомной плоскости,  $t_1 = t_0 + 4l \operatorname{ctg} \theta_B (-iB)^{1/2}$ ,  $t_0 = (-i/4B)^{1/2} k$ ,  $k \leq 2\pi \Delta\theta / \lambda$ ,  $B$  — градиент деформации,  $\Phi(t)$  — интеграл вероятности.

Полагая, что  $l \ll \pi/(4\lambda B)$ , разложим разность интегралов вероятности в ряд Тэйлора, ограничиваясь первой производной функции  $\Phi(t)$ :

$$\Phi(-t_1/2^{1/2}) - \Phi(-t_0/2^{1/2}) \approx -2(\pi)^{-1/2} \exp(-t_0^2/2) (t_1 - t_0)/2^{1/2}. \quad (7)$$

Тогда для амплитудного коэффициента обратного отражения получим

$$r_{bent} \cong i\pi |\chi_{hr}| l \exp(-t_0^2)/\lambda. \quad (8)$$

Сравнивая выражения (6) и (8), находим:

$$r_{bent} = r_{flat} \exp(ik^2/4B). \quad (9)$$

Параметр изгиба кристалла в случае симметричной геометрии дифракции, согласно [12], равен (для  $\sigma$ -поляризованного излучения):

$$|v| = \pi^2 |\chi_{hr}|^2 / (16\lambda^2 \times B \sin^2 \theta_B \cos^2 \theta_B). \quad (10)$$

При обратном рассеянии  $\cos \theta_B \leq |\chi_{hr}|^{1/2}$ . Положим  $\cos \theta_B = |\chi_{hr}|^{1/2}/2$ . Тогда для параметра изгиба получим

$$|v|_{\theta \approx \pi/2} = \pi^2 |\chi_{hr}| / (4B\lambda^2). \quad (11)$$

Условие сильного изгиба  $|v| \ll 1$  дает величину необходимого градиента деформации  $B \gg \pi^2 |\chi_{hr}| / (4\lambda^2)$ . Для  $|\chi_{hr}| \sim 10^{-5}$ ,  $\lambda \sim 1 \text{ \AA}$  получим  $B \gg 10^{15} \text{ m}^{-2}$ .

Отметим, что выражения (10), (11) являются частными случаями более общего выражения для параметра  $|v|$ :

$$|v| = \pi^2 (\Delta\theta)^2 / (4\lambda^2 B). \quad (12)$$

Положив величину  $\Delta\theta$  равной угловой полуширине кривой отражения, получаем формулы (10) и (11).

Строго говоря, точное выражение для параметра изгиба  $|v|$  при обратном рассеянии можно получить, решив задачу динамической дифракции назад в изогнутом кристалле. Однако можно использовать и формулу (12), в которой следует положить:

$$(\Delta\theta)_{\theta \approx \pi/2} = K^{1/2} |\chi_{hr}| / \sin 2\theta_B, \quad (13)$$

где в правой части  $\theta_B \neq \pi/2$  и коэффициент  $K \ll 1$ . Величину коэффициента  $K$  надо подбирать в зависимости от величины градиента деформации  $B$  так, чтобы „слабый“ изгиб при  $\theta_B \neq \pi/2$  соответствовал „сильному“ изгибу при  $\theta_B \cong \pi/2$ .

С учетом (9), (11) имеем  $r_{bent} \cong r_{flat} \exp(i|v|^2)$ . Видно, что коэффициент обратного отражения сильноизогнутым кристаллом и плоским кристаллом различаются небольшим экспоненциальным множителем.

Наличие этого множителя может влиять, например, на фокусирующие свойства рассматриваемого кристалла (как одиночного, так и напыленного в качестве пленки на толстый кристалл-подложку).

В заключение заметим, что, несмотря на наличие очевидных преимуществ обратного рассеяния, экспериментальная реализация отражения назад сопряжена с довольно большими трудностями. Связано это с тем, что при точном обратном отражении дифрагированный пучок идет в направлении, антипараллельном падающему пучку. Для устранения указанной трудности необходимо выбирать угол скольжения  $\geq \pi/2 - |\chi_{hr}|^{1/2}$ . При этом сумма расстояний от источника  $S$  сферической волны до нормали к кристаллу и от нормали до изображения  $S'$  равна:  $\sim |\chi_{hr}|^{1/2}(L_0 + L_h)$ , где  $L_0$  и  $L_h$  — расстояния от  $S$  до кристалла и от кристалла до  $S'$  соответственно.

В случае синхротронного источника, когда  $L_0 \geq 10$  м, источник  $S$  и его изображение  $S'$  могут быть разнесены на расстояние  $\geq 10^{-2}$  м вдоль направления, поперечного к нормали. Тем самым снимается основная проблема, затрудняющая экспериментальную реализацию обратного рассеяния.

Использование двухосно-изогнутого кристалла в геометрии обратного отражения дает возможность резко увеличить светосилу фокусирующей рентгеновской оптики и может найти свое применение в рентгеновской спектроскопии, микроскопии и т. д.

## Список литературы

- [1] *Nikulin A.Yu., Davis J.R., Jones N.T. et al. // Phys. Stat. Sol. (A). 2000. V. 179. P. 103–108.*
- [2] *Shvyd'ko Yu.V., Gerdau E. // Hyperfine Interactions. 1999. V. 123/124. P. 741–776.*
- [3] *Shvyd'ko Yu.V., Gerdau E., Jäschke J. et al. // Phys. Rev. (B). 1998. V. 57. P. 4968.*
- [4] *Graeff W., Materlik G. // Nucl. Instrum. and Methods. 1982. V. 195. P. 97.*
- [5] *Кушнир В.И., Суворов Э.В. // Письма в ЖЭТФ. 1986. Т. 44. С. 262.*
- [6] *Kushnir V.I., Suvorov E.V. // Phys. Stat. Sol. (A). 1990. V. 122. P. 391.*
- [7] *Woodruff D.P., Seymour D.L., McConville C.F. et al. // Phys. Rev. Lett. 1987. V. 58. P. 1460.*
- [8] *Cusatis C., Udron D., Mazzaro I. et al. // Acta Cryst. (A). 1996. V. 52. P. 614.*
- [9] *Пинскер З.Г. Рентгеновская оптика. М.: Наука, 1982. 390 с.*
- [10] *Бушуев В.А., Чен Т. // Вестник Мос. ун-та. Сер. 3. Физика. Астрономия. 1988. Т. 29. N 6. С. 58–63.*
- [11] *Чуховский Ф.Н. // Металлофизика. 1981. Т. 3. № 5. С. 3–30.*
- [12] *Габриелян К.Т., Чуховский Ф.Н., Пискунов Д.И. // ЖЭТФ. 1989. Т. 96. В. 3 (9). С. 834–846.*